

# Configurations de vortex dans le modèle de Ginzburg-Landau de la supraconductivité

De Ginzburg-Landau à des problèmes de réseaux

Sylvia Serfaty, avec Etienne Sandier

1er février 2008, Collège de France

# La fonctionnelle de Ginzburg-Landau

$$G_\varepsilon(\psi, A) = \frac{1}{2} \int_{\Omega} |\nabla_A \psi|^2 + |\operatorname{curl} A - h_{\text{ex}}|^2 + \frac{(1 - |\psi|^2)^2}{2\varepsilon^2}$$

- ▶  $\Omega \subset \mathbb{R}^2$  simplement connexe
- ▶  $\psi : \Omega \rightarrow \mathbb{C}$  "paramètre d'ordre"
- ▶  $A : \Omega \rightarrow \mathbb{R}^2$  potentiel vecteur  $\nabla_A = \nabla - iA$
- ▶  $h = \operatorname{curl} A$  champ magnétique induit
- ▶  $h_{\text{ex}} > 0$  intensité du champ appliqué
- ▶  $\varepsilon = \frac{1}{\kappa}$  "paramètre de Ginzburg-Landau": constante du matériau
- ▶ limite  $\varepsilon \rightarrow 0$  extrême type-II ou fortement répulsive

# Les équations de Ginzburg-Landau

$$(GL) \begin{cases} -\nabla_A^2 \psi = \frac{\psi}{\epsilon^2} (1 - |\psi|^2) & \text{dans } \Omega \\ -\nabla^\perp h = \psi \times \nabla_A \psi & \text{dans } \Omega \\ h = h_{\text{ex}} & \text{sur } \partial\Omega \\ \nabla_A \psi \cdot \nu = 0 & \text{sur } \partial\Omega. \end{cases}$$

Invariance de jauge  $\mathbb{U}(1)$  ("théorie abélienne de jauge")

$$\begin{cases} \psi \mapsto \psi e^{i\Phi} \\ A \mapsto A + \nabla\Phi \end{cases}$$

Les quantités physiques sont celles qui sont invariantes de jauge, tq:  $|\psi|^2$ ,  $h$ ,  $j = \psi \times \nabla_A \psi$ ,  $G_\epsilon$ .

motivations: supraconductivité, superfluidité, condensats de Bose-Einstein

# Les équations de Ginzburg-Landau

$$(GL) \begin{cases} -\nabla_A^2 \psi = \frac{\psi}{\epsilon^2} (1 - |\psi|^2) & \text{dans } \Omega \\ -\nabla^\perp h = \psi \times \nabla_A \psi & \text{dans } \Omega \\ h = h_{\text{ex}} & \text{sur } \partial\Omega \\ \nabla_A \psi \cdot \nu = 0 & \text{sur } \partial\Omega. \end{cases}$$

Invariance de jauge  $\mathbb{U}(1)$  ("théorie abélienne de jauge")

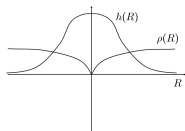
$$\begin{cases} \psi \mapsto \psi e^{i\Phi} \\ A \mapsto A + \nabla\Phi \end{cases}$$

Les quantités physiques sont celles qui sont invariantes de jauge, tq:  $|\psi|^2$ ,  $h$ ,  $j = \psi \times \nabla_A \psi$ ,  $G_\epsilon$ .

motivations: supraconductivité, superfluidité, condensats de Bose-Einstein

# Les vortex

- ▶  $|\psi|^2 \leq 1$  densité d'électrons supraconducteurs
- ▶  $|\psi| = 0$  phase normale
- ▶  $|\psi| \sim 1$  phase supra
- ▶ vortex: **zéros** de  $\psi$  de degré non nul

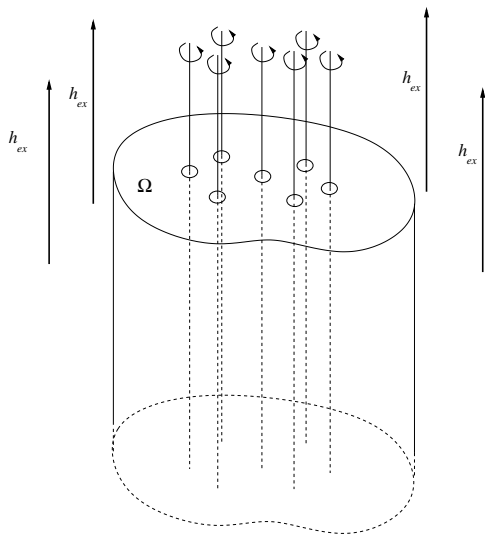


- ▶  $\psi = \rho e^{i\varphi}$

$$\frac{1}{2\pi} \int_{\partial B(x_0, r)} \frac{\partial \varphi}{\partial \tau} = d \in \mathbb{Z}$$

degré du vortex

- ▶ Dans la lim  $\varepsilon \rightarrow 0$  les vortex deviennent *ponctuels*, ou plus généralement des singularités de *codimension-2*



# La vorticit 

$\psi = \rho e^{i\varphi}$ ,  $\varphi$  pas univalu e

introduire la mesure de vorticit 

$$\mu_\varepsilon := \mu(\psi, A) = \operatorname{curl}(\psi \times \nabla_A \psi) + \operatorname{curl} A$$

"estim e Jacobienne" (voir Jerrard-Soner)

$$\operatorname{curl}(\psi \times \nabla \psi) = \det D\psi = \operatorname{curl}(\rho^2 \nabla \varphi) \simeq \operatorname{curl} \nabla \varphi = 2\pi \sum_i d_i \delta_{a_i} \quad \text{qd } \varepsilon \rightarrow 0$$

Si  $(\psi, A)$  v rifie (GL2)

$$-\nabla^\perp h = \psi \times \nabla_A \psi$$

prenant le rot

$$\begin{cases} -\Delta h + h = \mu \simeq 2\pi \sum_i d_i \delta_{a_i} & \text{dans } \Omega \\ h = h_{\text{ex}} & \text{sur } \partial\Omega. \end{cases}$$

Egalement  $|\nabla_A \psi| \simeq |\nabla h| \rightsquigarrow$  divergence logarithmique de  $\int_\Omega |\nabla_A \psi|^2$

# La vorticité

$\psi = \rho e^{i\varphi}$ ,  $\varphi$  pas univaluée

introduire la mesure de vorticité

$$\mu_\varepsilon := \mu(\psi, A) = \operatorname{curl}(\psi \times \nabla_A \psi) + \operatorname{curl} A$$

"estimée Jacobienne" (voir Jerrard-Soner)

$$\operatorname{curl}(\psi \times \nabla \psi) = \det D\psi = \operatorname{curl}(\rho^2 \nabla \varphi) \simeq \operatorname{curl} \nabla \varphi = 2\pi \sum_i d_i \delta_{a_i} \quad \text{qd } \varepsilon \rightarrow 0$$

Si  $(\psi, A)$  vérifie (GL2)

$$-\nabla^\perp h = \psi \times \nabla_A \psi$$

prenant le rot

$$\begin{cases} -\Delta h + h = \mu \simeq 2\pi \sum_i d_i \delta_{a_i} & \text{dans } \Omega \\ h = h_{\text{ex}} & \text{sur } \partial\Omega. \end{cases}$$

Egalement  $|\nabla_A \psi| \simeq |\nabla h| \rightsquigarrow$  divergence logarithmique de  $\int_\Omega |\nabla_A \psi|^2$

# La vorticité

$\psi = \rho e^{i\varphi}$ ,  $\varphi$  pas univaluée

introduire la mesure de vorticité

$$\mu_\varepsilon := \mu(\psi, A) = \text{curl}(\psi \times \nabla_A \psi) + \text{curl} A$$

"estimée Jacobienne" (voir Jerrard-Soner)

$$\text{curl}(\psi \times \nabla \psi) = \det D\psi = \text{curl}(\rho^2 \nabla \varphi) \simeq \text{curl} \nabla \varphi = 2\pi \sum_i d_i \delta_{a_i} \quad \text{qd } \varepsilon \rightarrow 0$$

Si  $(\psi, A)$  vérifie (GL2)

$$-\nabla^\perp h = \psi \times \nabla_A \psi$$

prenant le rot

$$\begin{cases} -\Delta h + h = \mu \simeq 2\pi \sum_i d_i \delta_{a_i} & \text{dans } \Omega \\ h = h_{\text{ex}} & \text{sur } \partial\Omega. \end{cases}$$

Egalement  $|\nabla_A \psi| \simeq |\nabla h| \rightsquigarrow$  divergence logarithmique de  $\int_\Omega |\nabla_A \psi|^2$

# Influence du champ appliqué et champs critiques

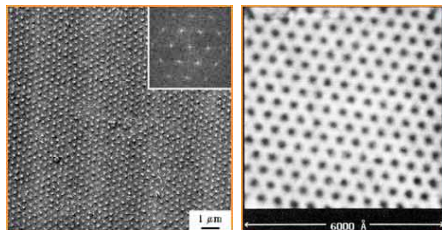
- ▶  $h_{\text{ex}} < H_{c_1}$  pas de vortex,  $|\psi| \sim 1$  (effet Meissner)
- ▶  $H_{c_1} = O(|\log \varepsilon|)$  premier champ critique: les premiers vortex apparaissent, puis leur nombre croît  
↪ réseaux d'Abrikosov (triangulaires)
- ▶  $H_{c_2} = O(\frac{1}{\varepsilon^2})$  supraconductivité détruite à l'intérieur, reste de la supraconductivité de surface
- ▶  $H_{c_3} = O(\frac{1}{\varepsilon^2})$  état normal  $\psi \equiv 0$

# Influence du champ appliqué et champs critiques

- ▶  $h_{\text{ex}} < H_{c_1}$  pas de vortex,  $|\psi| \sim 1$  (effet Meissner)
- ▶  $H_{c_1} = O(|\log \varepsilon|)$  premier champ critique: les premiers vortex apparaissent, puis leur nombre croît  
     $\rightsquigarrow$  réseaux d'Abrikosov (triangulaires)
- ▶  $H_{c_2} = O(\frac{1}{\varepsilon^2})$  supraconductivité détruite à l'intérieur, reste de la supraconductivité de surface
- ▶  $H_{c_3} = O(\frac{1}{\varepsilon^2})$  état normal  $\psi \equiv 0$

# Influence du champ appliqué et champs critiques

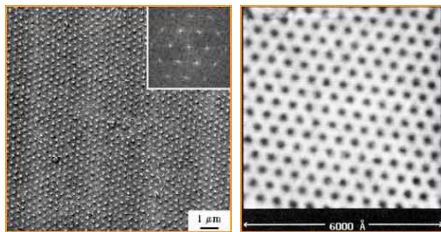
- ▶  $h_{\text{ex}} < H_{c_1}$  pas de vortex,  $|\psi| \sim 1$  (effet Meissner)
- ▶  $H_{c_1} = O(|\log \varepsilon|)$  premier champ critique: les premiers vortex apparaissent, puis leur nombre croît  
↪ réseaux d'Abrikosov (triangulaires)



- ▶  $H_{c_2} = O(\frac{1}{\varepsilon^2})$  supraconductivité détruite à l'intérieur, reste de la supraconductivité de surface
- ▶  $H_{c_3} = O(\frac{1}{\varepsilon^2})$  état normal  $\psi \equiv 0$

# Influence du champ appliqué et champs critiques

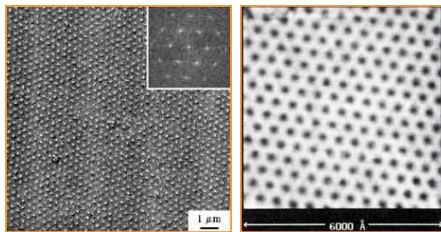
- ▶  $h_{\text{ex}} < H_{c_1}$  pas de vortex,  $|\psi| \sim 1$  (effet Meissner)
- ▶  $H_{c_1} = O(|\log \varepsilon|)$  premier champ critique: les premiers vortex apparaissent, puis leur nombre croît  
↪ réseaux d'Abrikosov (triangulaires)



- ▶  $H_{c_2} = O(\frac{1}{\varepsilon^2})$  supraconductivité détruite à l'intérieur, reste de la supraconductivité de surface
- ▶  $H_{c_3} = O(\frac{1}{\varepsilon^2})$  état normal  $\psi \equiv 0$

# Influence du champ appliqué et champs critiques

- ▶  $h_{\text{ex}} < H_{c_1}$  pas de vortex,  $|\psi| \sim 1$  (effet Meissner)
- ▶  $H_{c_1} = O(|\log \varepsilon|)$  premier champ critique: les premiers vortex apparaissent, puis leur nombre croît  
↪ réseaux d'Abrikosov (triangulaires)



- ▶  $H_{c_2} = O(\frac{1}{\varepsilon^2})$  supraconductivité détruite à l'intérieur, reste de la supraconductivité de surface
- ▶  $H_{c_3} = O(\frac{1}{\varepsilon^2})$  état normal  $\psi \equiv 0$

# Questions et méthodes

- ▶ Prouver des résultats mathématiques sur les minimiseurs de l'énergie
- ▶ décrire leurs vortex dans la limite  $\varepsilon \rightarrow 0$
- ▶ les réseaux d'Abrikosov
- ▶ les champs critiques pour lesquels ils apparaissent

Méthode de  $\Gamma$ -convergence:

- ▶ prouver des bornes inférieures pour une configuration arbitraire en fonction de ses vortex limites
- ▶ prouver que cette minoration est optimale en construisant une configuration test explicite
- ▶ déduire l'énergie limite à minimiser

Autres résultats non décrits aujourd'hui:

- ▶ existence de branches de solutions localement minimisantes à nombre de vortex prescrit
- ▶ caractérisation des vortex pour tous les points critiques

# Questions et méthodes

- ▶ Prouver des résultats mathématiques sur les minimiseurs de l'énergie
- ▶ décrire leurs vortex dans la limite  $\varepsilon \rightarrow 0$
- ▶ les réseaux d'Abrikosov
- ▶ les champs critiques pour lesquels ils apparaissent

Méthode de  $\Gamma$ -convergence:

- ▶ prouver des bornes inférieures pour une configuration arbitraire en fonction de ses vortex limites
- ▶ prouver que cette minoration est optimale en construisant une configuration test explicite
- ▶ déduire l'énergie limite à minimiser

Autres résultats non décrits aujourd'hui:

- ▶ existence de branches de solutions localement minimisantes à nombre de vortex prescrit
- ▶ caractérisation des vortex pour tous les points critiques

# Questions et méthodes

- ▶ Prouver des résultats mathématiques sur les minimiseurs de l'énergie
- ▶ décrire leurs vortex dans la limite  $\varepsilon \rightarrow 0$
- ▶ les réseaux d'Abrikosov
- ▶ les champs critiques pour lesquels ils apparaissent

Méthode de  $\Gamma$ -convergence:

- ▶ prouver des bornes inférieures pour une configuration arbitraire en fonction de ses vortex limites
- ▶ prouver que cette minoration est optimale en construisant une configuration test explicite
- ▶ déduire l'énergie limite à minimiser

Autres résultats non décrits aujourd'hui:

- ▶ existence de branches de solutions localement minimisantes à nombre de vortex prescrit
- ▶ caractérisation des vortex pour tous les points critiques

# Le problème de l'obstacle...

- ▶ introduire  $h_*$  l'(unique) minimiseur du *problème de l'obstacle*

$$\min_{h=1 \text{ sur } \partial\Omega} \frac{1}{2} \int_{\Omega} |\nabla h|^2 + h^2$$
$$h \geq 1 - \frac{1}{2h_{\text{ex}}} \log \frac{1}{\varepsilon \sqrt{h_{\text{ex}}}} := m_{\varepsilon}$$

- ▶ supposer

$$\lim_{\varepsilon \rightarrow 0} \frac{h_{\text{ex}}}{\log \frac{1}{\varepsilon \sqrt{h_{\text{ex}}}}} = \lambda$$

$\rightsquigarrow h_*$  ne dépend essentiellement pas de  $\varepsilon$ , juste de  $\lambda$ .

- ▶ ensemble de coïncidence

$$\omega = \{x \in \Omega / h_*(x) = m_{\varepsilon}\}$$

$$\mu_* = -\Delta h_* + h_*$$

$\mu_*$  densité uniforme sur  $\omega \subset \Omega$ ,

$$\mu_* = m_{\varepsilon} \mathbf{1}_{\omega}$$

avec  $m_{\varepsilon} \rightarrow m := 1 - \frac{1}{2\lambda}$

# Le problème de l'obstacle...

- ▶ introduire  $h_*$  l'(unique) minimiseur du *problème de l'obstacle*

$$\min_{\substack{h=1 \\ \text{sur } \partial\Omega}} \frac{1}{2} \int_{\Omega} |\nabla h|^2 + h^2$$
$$h \geq 1 - \frac{1}{2h_{\text{ex}}} \log \frac{1}{\varepsilon \sqrt{h_{\text{ex}}}} := m_{\varepsilon}$$

- ▶ supposer

$$\lim_{\varepsilon \rightarrow 0} \frac{h_{\text{ex}}}{\log \frac{1}{\varepsilon \sqrt{h_{\text{ex}}}}} = \lambda$$

$\rightsquigarrow h_*$  ne dépend essentiellement pas de  $\varepsilon$ , juste de  $\lambda$ .

- ▶ ensemble de coïncidence

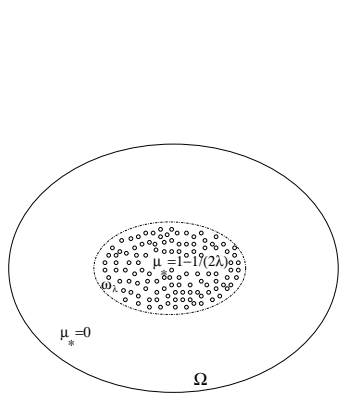
$$\omega = \{x \in \Omega / h_*(x) = m_{\varepsilon}\}$$

$$\mu_* = -\Delta h_* + h_*$$

$\mu_*$  **densité uniforme** sur  $\omega \subset \Omega$ ,

$$\mu_* = m_{\varepsilon} \mathbf{1}_{\omega}$$

avec  $m_{\varepsilon} \rightarrow m := 1 - \frac{1}{2\lambda}$

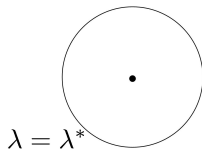


## Dépendence en $\lambda$

- ▶  $\lambda < \lambda_0$ :  $\omega_\lambda = \emptyset$ ,  $\mu_* = 0$ , pas de vortex
- ▶  $\lambda = \lambda_0$ :  $\omega_\lambda = \Lambda =$  ensemble fini de points (on suppose  $\Lambda = \{p\}$ )
- ▶  $\lambda > \lambda_0$ :  $\omega_\lambda \neq \emptyset$
- ▶  $|\log \varepsilon| \ll h_{\text{ex}} \ll \frac{1}{\varepsilon^2}$ :  $\omega_\infty = \Omega$ ,  $\mu_* = 1$

# Dépendance en $\lambda$

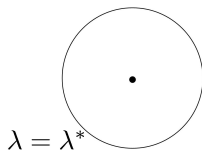
- ▶  $\lambda < \lambda_0$ :  $\omega_\lambda = \emptyset$ ,  $\mu_* = 0$ , pas de vortex
- ▶  $\lambda = \lambda_0$ :  $\omega_\lambda = \Lambda =$  ensemble fini de points (on suppose  $\Lambda = \{p\}$ )



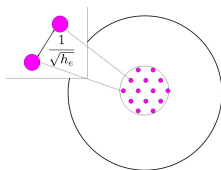
- ▶  $\lambda > \lambda_0$ :  $\omega_\lambda \neq \emptyset$
- ▶  $|\log \varepsilon| \ll h_{\text{ex}} \ll \frac{1}{\varepsilon^2}$ :  $\omega_\infty = \Omega$ ,  $\mu_* = 1$

# Dépendence en $\lambda$

- ▶  $\lambda < \lambda_0$ :  $\omega_\lambda = \emptyset$ ,  $\mu_* = 0$ , pas de vortex
- ▶  $\lambda = \lambda_0$ :  $\omega_\lambda = \Lambda =$  ensemble fini de points (on suppose  $\Lambda = \{p\}$ )



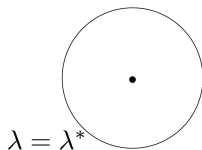
- ▶  $\lambda > \lambda_0$ :  $\omega_\lambda \neq \emptyset$



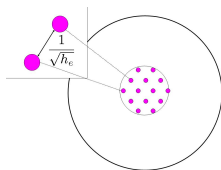
- ▶  $|\log \epsilon| \ll h_{\text{ex}} \ll \frac{1}{\epsilon^2}$ :  $\omega_\infty = \Omega$ ,  $\mu_* = 1$

# Dépendence en $\lambda$

- ▶  $\lambda < \lambda_0$ :  $\omega_\lambda = \emptyset$ ,  $\mu_* = 0$ , pas de vortex
- ▶  $\lambda = \lambda_0$ :  $\omega_\lambda = \Lambda =$  ensemble fini de points (on suppose  $\Lambda = \{p\}$ )



- ▶  $\lambda > \lambda_0$ :  $\omega_\lambda \neq \emptyset$



- ▶  $|\log \epsilon| \ll h_{\text{ex}} \ll \frac{1}{\epsilon^2}$ :  $\omega_\infty = \Omega$ ,  $\mu_* = 1$

# Une formule de décomposition de l'énergie

Soit  $(\psi, A)$  vérifiant (GL2) et  $h = \text{curl } A$ . On décompose  $A$  et  $h$  en posant

$$A = h_{\text{ex}} \nabla^\perp h_* + A_1 \quad h = h_{\text{ex}} h_* + h_1.$$

Un calcul direct donne avec (GL2)

$$\begin{cases} -\Delta h_1 + h_1 = \mu_\varepsilon - h_{\text{ex}} \mu_* & \text{dans } \Omega \\ h_1 = 0 & \text{sur } \partial\Omega. \end{cases}$$

## Proposition (Décomposition de l'énergie)

$$G_\varepsilon(\psi, A) = \frac{h_{\text{ex}}}{2} \log \frac{1}{\varepsilon \sqrt{h_{\text{ex}}}} \int_{\Omega} \mu_* + \frac{h_{\text{ex}}^2}{2} \int_{\Omega} |\nabla h_*|^2 + |h_* - 1|^2 \\ + \frac{1}{2} \int_{\Omega} |\nabla_{A_1} \psi|^2 + h_1^2 + \frac{(1 - |\psi|^2)^2}{2\varepsilon^2} + h_{\text{ex}} \int_{\Omega} (h_* - 1) \mu_\varepsilon + o(1).$$

On se ramène à minimiser

$$G_1(\psi, A) = \frac{1}{2} \int_{\Omega} |\nabla_{A_1} \psi|^2 + h_1^2 + \frac{(1 - |\psi|^2)^2}{2\varepsilon^2} + \int_{\Omega} h_{\text{ex}} (h_* - 1) \mu_\varepsilon.$$

On verra que  $\min G_1 = O(h_{\text{ex}})$  d'où on déduit

$$\min G_\varepsilon \sim h_{\text{ex}}^2 \left( \frac{1}{2\lambda} \int_{\Omega} |\mu_*| + \frac{1}{2} \int_{\Omega} |\nabla h_*|^2 + |h_* - 1|^2 \right) + O(h_{\text{ex}})$$

# Résultats pour les minimiseurs à l'ordre principal

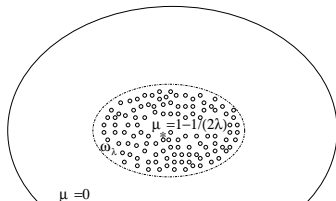
## Théorème (Sandier-S)

Pour les minimiseurs de  $G_\varepsilon$  on a

$$\frac{\mu_\varepsilon}{h_{\text{ex}}} \rightharpoonup \mu_* = m \mathbf{1}_{\omega_\lambda} \quad \frac{h}{h_{\text{ex}}} \rightharpoonup h_*$$

$$\frac{G_\varepsilon(\psi, A)}{h_{\text{ex}}^2} \rightarrow \frac{1}{2\lambda} \int_\Omega |\mu_*| + \frac{1}{2} \int_\Omega |\nabla h_*|^2 + |h_* - 1|^2$$

$$H_{c_1} \sim \lambda_0 |\log \varepsilon|$$



# Minimiseurs près de $H_{C_1}$ - nombre fini de vortex

## Théorème

Supposons  $\Lambda = \{p\}$  et  $h_{\text{ex}} \leq H_{C_1} + O(\log |\log \varepsilon|)$  et  $h_{\text{ex}} \in (H_n, H_{n+1})$  où

$$H_n = \lambda_0 (|\log \varepsilon| + (n-1) \log(\lambda_0 |\log \varepsilon|) + C_n)$$

les minimiseurs de  $G_\varepsilon$  ont exactement  $n$  vortex de degré  $+1$ ,  $a_i^\varepsilon \rightarrow p$  et

$$\tilde{a}_i^\varepsilon = \sqrt{\frac{h_{\text{ex}}}{n}} (a_i^\varepsilon - p)$$

converge quand  $\varepsilon \rightarrow 0$  vers un minimiseur de

$$w_n(x_1, \dots, x_n) = -\pi \sum_{i \neq j} \log |x_i - x_j| + \pi n \sum_i Q(x_i).$$

minimiser  $w_n$  donne des configurations régulières (polygone régulier pour  $n$  assez petit)

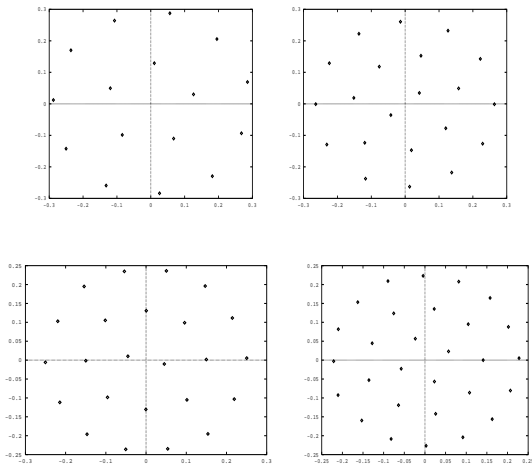


Figure: Résultat de la minimisation numérique de  $w_n$  par Gueron-Shafrir,  $n = 16, 21, 24, 29$

# Minimiseurs près de $H_{C_1}$ : régime intermédiaire

## Théorème

$\log |\log \varepsilon| \ll h_{\text{ex}} - H_{C_1} \ll |\log \varepsilon|$ , il existe  $n_\varepsilon$  tel que

$$h_{\text{ex}} \sim \lambda_0 \quad |\log \varepsilon| + n_\varepsilon \log \frac{|\log \varepsilon|}{n_\varepsilon} \quad 1 \ll n_\varepsilon \ll h_{\text{ex}}$$

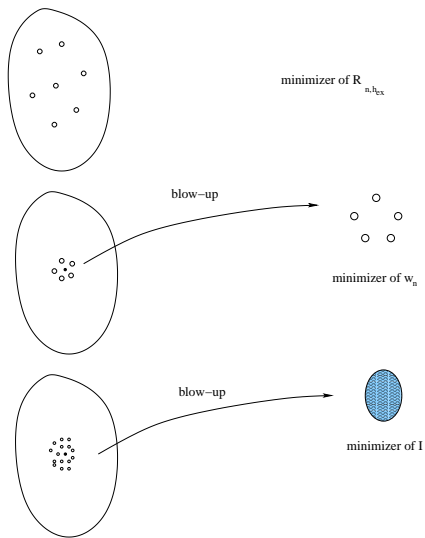
et si  $(\psi_\varepsilon, A_\varepsilon)$  minimise  $G_\varepsilon$  et a des vortex en  $a_i(\varepsilon)$  de degré  $d_i$ , notant

$$\mu_\varepsilon = 2\pi \sum_i d_i \delta_{a_i}$$

on a  $\frac{\tilde{\mu}_\varepsilon}{2\pi n_\varepsilon} \rightharpoonup \mu_0$  où  $\tilde{\mu}_\varepsilon$  est la mesure image de  $\mu_\varepsilon$  par le blow-up  $x \mapsto \sqrt{\frac{h_{\text{ex}}}{n_\varepsilon}}(x - p)$  et  $\mu_0$  est l'unique minimiseur parmi les mesures de probabilité de

$$I(\mu) = \int_{\mathbb{R}^2 \times \mathbb{R}^2} -\log |x - y| d\mu(x) d\mu(y) + \int_{\mathbb{R}^2} Q(x) d\mu(x)$$

$\mu_0$  est une proba de densité cste sur un sous-domaine de  $\mathbb{R}^2$   
(disque (ellipse))



# Comportement des minimiseurs à l'ordre suivant

- ▶ densité de vortex  $mh_{\text{ex}}$ , distances  $\sim 1/\sqrt{mh_{\text{ex}}}$  → faut dilater pour voir la configuration
- ▶ comprendre la  $\Gamma$ -limite de  $G_1/h_{\text{ex}}$  →  $\Gamma$ -convergence à l'ordre suivant
- ▶ Rappel

$$-\Delta h_1 + h_1 = \mu_\varepsilon - h_{\text{ex}}\mu_* = \mu_\varepsilon - m_\varepsilon h_{\text{ex}} \mathbf{1}_\omega$$

- ▶ après blow up à l'échelle  $\sqrt{mh_{\text{ex}}}$  autour d'un point de  $\omega$ , on obtient une configuration de points dans TOUT le plan avec

$$-\Delta H = 2\pi \sum_i d_i \delta_{a_i} - 1 \quad \text{sur } \mathbb{R}^2$$

Question: quelle est l'énergie d'interaction des  $a_i$ ? Pbl: domaine de taille infinie

# Comportement des minimiseurs à l'ordre suivant

- ▶ densité de vortex  $mh_{\text{ex}}$ , distances  $\sim 1/\sqrt{mh_{\text{ex}}}$  → faut dilater pour voir la configuration
- ▶ comprendre la  $\Gamma$ -limite de  $G_1/h_{\text{ex}}$  →  $\Gamma$ -convergence à l'ordre suivant
- ▶ Rappel

$$-\Delta h_1 + h_1 = \mu_\varepsilon - h_{\text{ex}}\mu_* = \mu_\varepsilon - m_\varepsilon h_{\text{ex}} \mathbf{1}_\omega$$

- ▶ après blow up à l'échelle  $\sqrt{mh_{\text{ex}}}$  autour d'un point de  $\omega$ , on obtient une configuration de points dans TOUT le plan avec

$$-\Delta H = 2\pi \sum_i d_i \delta_{a_i} - 1 \quad \text{sur } \mathbb{R}^2$$

Question: quelle est l'énergie d'interaction des  $a_i$ ? Pbl: domaine de taille infinie

# Comportement des minimiseurs à l'ordre suivant

- ▶ densité de vortex  $mh_{\text{ex}}$ , distances  $\sim 1/\sqrt{mh_{\text{ex}}}$   $\rightarrow$  faut dilater pour voir la configuration
- ▶ comprendre la  $\Gamma$ -limite de  $G_1/h_{\text{ex}}$   $\rightarrow$   $\Gamma$ -convergence à l'ordre suivant
- ▶ Rappel

$$-\Delta h_1 + h_1 = \mu_\varepsilon - h_{\text{ex}}\mu_* = \mu_\varepsilon - m_\varepsilon h_{\text{ex}} \mathbf{1}_\omega$$

- ▶ après blow up à l'échelle  $\sqrt{mh_{\text{ex}}}$  autour d'un point de  $\omega$ , on obtient une configuration de points dans TOUT le plan avec

$$-\Delta H = 2\pi \sum_i d_i \delta_{a_i} - 1 \quad \text{sur } \mathbb{R}^2$$

Question: quelle est l'énergie d'interaction des  $a_i$ ? Pbl: domaine de taille infinie

# Analyse formelle de $G_1$

$$G_1(\psi, A) = \frac{1}{2} \int_{\Omega} |\nabla_{A_1} \psi|^2 + h_1^2 + \frac{(1 - |\psi|^2)^2}{2\varepsilon^2} + \int_{\Omega} h_{\text{ex}}(h_* - 1) \mu_{\varepsilon}$$

$$\begin{aligned} h_{\text{ex}}(h_* - 1) &= -\frac{1}{2} \log \frac{1}{\varepsilon \sqrt{h_{\text{ex}}}} && \text{dans } \omega \\ &> -\frac{1}{2} \log \frac{1}{\varepsilon \sqrt{h_{\text{ex}}}} && \text{ailleurs} \end{aligned}$$

$$\int_{\Omega} h_{\text{ex}}(h_* - 1) \mu_{\varepsilon} \simeq -\pi \sum_i d_i \log \frac{1}{\varepsilon \sqrt{h_{\text{ex}}}}$$

$\rightsquigarrow$  tous les vortex doivent être dans  $\omega$ , et de degrés positifs.

Après blow-up, posant  $\varepsilon' = \varepsilon \sqrt{h_{\text{ex}}}$  et avec les mêmes notations pour  $(\psi, A)$

$$G_1(\psi, A) \simeq \frac{1}{2} \int_{\sqrt{h_{\text{ex}}}\Omega} |\nabla_{A_1} \psi|^2 + \frac{h_1^2}{h_{\text{ex}}} + \frac{(1 - |\psi|^2)^2}{2(\varepsilon')^2} - \pi \sum_i d_i |\log \varepsilon'|$$

Première partie  $\sim$  énergie "libre" de GL sans chp appliqué

$$\geq \pi \sum |d_i| |\log \varepsilon'|$$

énergie dans les vortex - minoration via "méthode de construction de boules" Bethuel-Brezis-Hélein, Jerrard, Sandier, Sandier-S

- ▶ Un vortex ajoute une qté "infinie" d'énergie mais aussi soustrait une qté infinie
- ▶  $\rightsquigarrow$  reste une "énergie renormalisée"
- ▶  $\rightsquigarrow$  il faut extraire l'énergie des vortex avec une très grande précision pour évaluer le reste

$$G_1(\psi, A) \simeq \frac{1}{2} \int_{\sqrt{h_{\text{ex}}}\Omega} |\nabla_{A_1} \psi|^2 + \frac{h_1^2}{h_{\text{ex}}} + \frac{(1 - |\psi|^2)^2}{2(\varepsilon')^2} - \pi \sum_i d_i |\log \varepsilon'|$$

Première partie  $\sim$  énergie "libre" de GL sans chp appliqué

$$\geq \pi \sum |d_i| |\log \varepsilon'|$$

énergie dans les vortex - minoration via "méthode de construction de boules" Bethuel-Brezis-Hélein, Jerrard, Sandier, Sandier-S

- ▶ Un vortex ajoute une qté "infinie" d'énergie mais aussi soustrait une qté infinie
- ▶  $\rightsquigarrow$  reste une "énergie renormalisée"
- ▶  $\rightsquigarrow$  il faut extraire l'énergie des vortex avec une très grande précision pour évaluer le reste

# L'énergie renormalisée

Etant donnée une configuration de points dans le plan  $a_i$ ,  $d_i = 1$  et  $H$  solution de

$$-\Delta H = 2\pi \sum_i \delta_{a_i} - 1 \quad \text{dans } \mathbb{R}^2.$$

On considère pour tout  $R$  une fonction troncature  $\chi_R \in C_0^\infty(B_R)$  tq  $0 \leq \chi_R \leq 1$  et  $\chi_R \equiv 1$  dans  $B_{R-1}$ ,  $|\nabla \chi_R| \leq 2$ , et on définit

$$W(\{a_i\}, H) = \liminf_{R \rightarrow \infty} \frac{1}{|B_R|} \lim_{\alpha \rightarrow 0} \left( \frac{1}{2} \int_{B_R \setminus \cup_i B(a_i, \alpha)} \chi_R |\nabla H|^2 \right. \\ \left. + \sum_i \chi_R(a_i) (\pi \log \alpha + \gamma - \frac{1}{4} \log m) \right)$$

cf énergie renormalisée de Bethuel-Brezis-Hélein pour nombre fini de vortex, ou cf  $w_n$

$$“W(\{a_i\}) = \|2\pi \sum_i \delta_{a_i} - 1\|_{H^{-1}}^2”$$

$\mathcal{F}$  désigne l'ensemble des  $(\{a_i\}, H)$  avec  $-\Delta H = 2\pi \sum_i \delta_{a_i} - 1$  sur  $\mathbb{R}^2$

## Théorème (Borne inférieure)

Soit  $\omega$  le support de  $\mu_*$ . Pour tout  $(\psi_\varepsilon, A_\varepsilon)$ , il existe une probabilité  $P$  sur  $\mathcal{F}$  tq

$$\liminf_{\varepsilon \rightarrow 0} \frac{1}{mh_{\text{ex}}|\omega|} G_1(\psi_\varepsilon, A_\varepsilon) \geq \int W(\{a_i\}, H) dP(\{a_i\}, H) \geq \inf_{a_i, H} W$$

et ainsi

$$G_\varepsilon(\psi_\varepsilon, A_\varepsilon) \geq \frac{h_{\text{ex}}^2}{2} \int_{\Omega} |\nabla h_*|^2 + |h_* - 1|^2 + \frac{h_{\text{ex}}}{2} \log \frac{1}{\varepsilon \sqrt{h_{\text{ex}}}} \int_{\Omega} \mu_* + mh_{\text{ex}}|\omega| \inf_{a_i, H} W + o(h_{\text{ex}})$$

Borne inférieure optimale à  $o(h_{\text{ex}})$  près (=o(nombre de vortex))

## Théorème (Borne supérieure)

Supposons  $h_{\text{ex}} \ll \frac{1}{\varepsilon^2}$ . Pour  $\varepsilon < \varepsilon_0$ , il existe  $(\psi_\varepsilon, A_\varepsilon)$  tq

$$G_\varepsilon(\psi_\varepsilon, A_\varepsilon) \leq \frac{h_{\text{ex}}^2}{2} \int_{\Omega} |\nabla h_*|^2 + |h_* - 1|^2 + \frac{h_{\text{ex}}}{2} \log \frac{1}{\varepsilon \sqrt{h_{\text{ex}}}} \int \mu_* \\ + mh_{\text{ex}} |\omega| \inf_{a_i, H} W + o(h_{\text{ex}})$$

## Corollaire

*"Pour des minimiseurs de  $G_\varepsilon$ , les images des vortex par dilatation d'un facteur  $\sqrt{mh_{\text{ex}}}$  autour d'un point  $x_\varepsilon$  pris au hasard convergent p.s vers des configurations de points dans le plan qui "minimisent"  $W$ ."*

# Méthodes et difficultés

- ▶ pour dériver  $W$  on doit contrôler le nombre de vortex par unité de volume après blow-up  
↪ il faut des minoration très précises de leur coût et pour un *nombre divergent*
- ▶ le coût renormalisé d'un vortex dans  $B_R$  tend vers  $-\infty$  quand il s'approche de  $\partial B_R$  ↪ besoin de tronquer et faire  $R \rightarrow \infty$
- ▶ la taille du domaine dilaté tend vers  $\infty$ . Grâce au théorème ergodique, on définit une sorte de notion de  $\Gamma$ -convergence moyennée qui marche sur les domaines infinis quand il y a invariance par translation de la densité d'énergie. Alternative à une méthode d'Alberti-Müller via mesures de Young.  
Pbl: notre densité d'énergie n'est pas positive
- ▶ cela fournit aussi une borne sur le nombre de vortex par unité de volume en moyenne autour de la plupart des points
- ▶ pour obtenir la majoration il faut se ramener à des configurations de points périodiques cad mq on peut approcher la minimisation de  $W$  par une minimisation sur des grands tores
- ▶ montrer aussi que la discontinuité sur  $\partial\omega$  génère une énergie négligeable

# Méthodes et difficultés

- ▶ pour dériver  $W$  on doit contrôler le nombre de vortex par unité de volume après blow-up  
↪ il faut des minoration très précises de leur coût et pour un *nombre divergent*
- ▶ le coût renormalisé d'un vortex dans  $B_R$  tend vers  $-\infty$  quand il s'approche de  $\partial B_R$  ↪ besoin de tronquer et faire  $R \rightarrow \infty$
- ▶ la taille du domaine dilaté tend vers  $\infty$ . Grâce au théorème ergodique, on définit une sorte de notion de  $\Gamma$ -convergence moyennée qui marche sur les domaines infinis quand il y a invariance par translation de la densité d'énergie. Alternative à une méthode d'Alberti-Müller via mesures de Young.  
Pbl: notre densité d'énergie n'est pas positive
- ▶ cela fournit aussi une borne sur le nombre de vortex par unité de volume en moyenne autour de la plupart des points
- ▶ pour obtenir la majoration il faut se ramener à des configurations de points périodiques cad mq on peut approcher la minimisation de  $W$  par une minimisation sur des grands tores
- ▶ montrer aussi que la discontinuité sur  $\partial\omega$  génère une énergie négligeable

# Méthodes et difficultés

- ▶ pour dériver  $W$  on doit contrôler le nombre de vortex par unité de volume après blow-up  
↪ il faut des minoration très précises de leur coût et pour un *nombre divergent*
- ▶ le coût renormalisé d'un vortex dans  $B_R$  tend vers  $-\infty$  quand il s'approche de  $\partial B_R$  ↪ besoin de tronquer et faire  $R \rightarrow \infty$
- ▶ la taille du domaine dilaté tend vers  $\infty$ . Grâce au théorème ergodique, on définit une sorte de notion de  $\Gamma$ -convergence moyennée qui marche sur les domaines infinis quand il y a invariance par translation de la densité d'énergie. Alternative à une méthode d'Alberti-Müller via mesures de Young.  
**Pbl: notre densité d'énergie n'est pas positive**
- ▶ cela fournit aussi une borne sur le nombre de vortex par unité de volume en moyenne autour de la plupart des points
- ▶ pour obtenir la majoration il faut se ramener à des configurations de points périodiques cad mq on peut approcher la minimisation de  $W$  par une minimisation sur des grands tores
- ▶ montrer aussi que la discontinuité sur  $\partial\omega$  génère une énergie négligeable

# Méthodes et difficultés

- ▶ pour dériver  $W$  on doit contrôler le nombre de vortex par unité de volume après blow-up  
↪ il faut des minoration très précises de leur coût et pour un *nombre divergent*
- ▶ le coût renormalisé d'un vortex dans  $B_R$  tend vers  $-\infty$  quand il s'approche de  $\partial B_R$  ↪ besoin de tronquer et faire  $R \rightarrow \infty$
- ▶ la taille du domaine dilaté tend vers  $\infty$ . Grâce au théorème ergodique, on définit une sorte de notion de  $\Gamma$ -convergence moyennée qui marche sur les domaines infinis quand il y a invariance par translation de la densité d'énergie. Alternative à une méthode d'Alberti-Müller via mesures de Young.  
**Pbl: notre densité d'énergie n'est pas positive**
- ▶ cela fournit aussi une borne sur le nombre de vortex par unité de volume en moyenne autour de la plupart des points
- ▶ pour obtenir la majoration il faut se ramener à des configurations de points périodiques cad mq on peut approcher la minimisation de  $W$  par une minimisation sur des grands tores
- ▶ montrer aussi que la discontinuité sur  $\partial\omega$  génère une énergie négligeable

# Méthodes et difficultés

- ▶ pour dériver  $W$  on doit contrôler le nombre de vortex par unité de volume après blow-up  
↪ il faut des minoration très précises de leur coût et pour un *nombre divergent*
- ▶ le coût renormalisé d'un vortex dans  $B_R$  tend vers  $-\infty$  quand il s'approche de  $\partial B_R$  ↪ besoin de tronquer et faire  $R \rightarrow \infty$
- ▶ la taille du domaine dilaté tend vers  $\infty$ . Grâce au théorème ergodique, on définit une sorte de notion de  $\Gamma$ -convergence moyennée qui marche sur les domaines infinis quand il y a invariance par translation de la densité d'énergie. Alternative à une méthode d'Alberti-Müller via mesures de Young.  
**Pbl: notre densité d'énergie n'est pas positive**
- ▶ cela fournit aussi une borne sur le nombre de vortex par unité de volume en moyenne autour de la plupart des points
- ▶ pour obtenir la majoration il faut se ramener à des configurations de points périodiques cad mq on peut approcher la minimisation de  $W$  par une minimisation sur des grands tores
- ▶ montrer aussi que la discontinuité sur  $\partial\omega$  génère une énergie négligeable

# Méthodes et difficultés

- ▶ pour dériver  $W$  on doit contrôler le nombre de vortex par unité de volume après blow-up  
↪ il faut des minoration très précises de leur coût et pour un *nombre divergent*
- ▶ le coût renormalisé d'un vortex dans  $B_R$  tend vers  $-\infty$  quand il s'approche de  $\partial B_R$  ↪ besoin de tronquer et faire  $R \rightarrow \infty$
- ▶ la taille du domaine dilaté tend vers  $\infty$ . Grâce au théorème ergodique, on définit une sorte de notion de  $\Gamma$ -convergence moyennée qui marche sur les domaines infinis quand il y a invariance par translation de la densité d'énergie. Alternative à une méthode d'Alberti-Müller via mesures de Young.  
**Pbl: notre densité d'énergie n'est pas positive**
- ▶ cela fournit aussi une borne sur le nombre de vortex par unité de volume en moyenne autour de la plupart des points
- ▶ pour obtenir la majoration il faut se ramener à des configurations de points périodiques cad mq on peut approcher la minimisation de  $W$  par une minimisation sur des grands tores
- ▶ montrer aussi que la discontinuité sur  $\partial\omega$  génère une énergie négligeable

# Le résultat abstrait

$\theta_\lambda$  groupe à un paramètre d'actions sur les fonctions sur un espace topologique  $X$  (= action des translations)

## Proposition

Soit  $f_\varepsilon$  fonctions positives sur  $X$ , avec  $f_\varepsilon$   $\Gamma$ -converge vers  $f$  sur  $X$ , au sens que si  $u_\varepsilon \rightarrow u$  dans  $X$ ,  $\liminf_{\varepsilon \rightarrow 0} f_\varepsilon(u_\varepsilon) \geq f(u)$  + une hyp de coercivité.  
Soit

$$F_\varepsilon(u) = \frac{1}{|\omega_\varepsilon|} \int_{\omega_\varepsilon} f_\varepsilon(\theta_y u) dy$$

Si  $F_\varepsilon(u_\varepsilon) \leq C$ , quitte à extraire  $u_\varepsilon \rightarrow u$  dans  $X$  et il existe une probabilité  $P$  sur  $X$  supportée sur  $\mathcal{F}$  = l'ensemble des limites de  $\theta_{x_\varepsilon} u_\varepsilon$ , invariante par l'action de  $\theta$ , tq

$$\liminf_{\varepsilon \rightarrow 0} F_\varepsilon(u_\varepsilon) \geq \mathbf{E}^P \left( \lim_{R \rightarrow \infty} \frac{1}{|B_R|} \int_{B_R} f(\theta_y u) dy \right)$$

# Un exemple simple

Soit  $f_n$  des fonctions sur  $\omega_n = n\omega$  tq

$$\frac{1}{|\omega_n|} \int_{\omega_n} |f_n|^2 \leq C.$$

Alors il existe  $x_n$  et  $f$  tq  $f_n(x_n + \cdot) \rightarrow f$  et

$$\liminf_{n \rightarrow \infty} \frac{1}{|\omega_n|} \int_{\omega_n} |f_n|^2 \geq \limsup_{R \rightarrow \infty} \frac{1}{|B_R|} \int_{B_R} |f|^2$$

Vient de la relation plus forte

$$\liminf_{n \rightarrow \infty} \frac{1}{|\omega_n|} \int_{\omega_n} |f_n|^2 \geq \mathbf{E}^P \left( \limsup_{R \rightarrow \infty} \frac{1}{|B_R|} \int_{B_R} |f|^2 \right)$$

$P_n$  processus stochastique obtenu en rendant tous les  $f_n(x_n + \cdot)$  équi probables,  $P_n$  tendue  $\rightarrow P$ .

# Le résultat pour les configurations périodiques

- ▶ Soit  $H$  solution de

$$-\Delta H = \delta_0 - 1$$

sur un tore de volume 1 de forme quelconque.

- ▶ transformer de Fourier l'expression explicite de  $W$  dans ce cas pour en faire une fonction du réseau (régularisation de  $\sum_{p \in \Lambda} \frac{1}{|p|^2}$ )
- ▶ sa valeur se trouve liée à la fonction  $\eta$  de Dedekind et aux séries de Eisenstein
- ▶ Minimiser  $W$  se ramène à minimiser la fonction zeta d'Epstein  $\zeta(s) = \sum_{p \in \Lambda} \frac{1}{|p|^s}$ ,  $s > 2$ , parmi les réseaux  $\Lambda$
- ▶ résultats de théorie des nombres (Cassels, Rankin, 60's) disent que c'est minimisé par le réseau triangulaire

## Théorème

*La fonction  $W$  restreinte aux configurations en réseau admet pour seul minimiseur le réseau triangulaire*

$\rightsquigarrow W$  permet de distinguer entre les réseaux

# Le résultat pour les configurations périodiques

- ▶ Soit  $H$  solution de

$$-\Delta H = \delta_0 - 1$$

sur un tore de volume 1 de forme quelconque.

- ▶ transformer de Fourier l'expression explicite de  $W$  dans ce cas pour en faire une fonction du réseau (régularisation de  $\sum_{p \in \Lambda} \frac{1}{|p|^2}$ )
- ▶ sa valeur se trouve liée à la fonction  $\eta$  de Dedekind et aux séries de Eisenstein
- ▶ Minimiser  $W$  se ramène à minimiser la fonction zeta d'Epstein  $\zeta(s) = \sum_{p \in \Lambda} \frac{1}{|p|^s}$ ,  $s > 2$ , parmi les réseaux  $\Lambda$
- ▶ résultats de théorie des nombres (Cassels, Rankin, 60's) disent que c'est minimisé par le réseau triangulaire

## Théorème

*La fonction  $W$  restreinte aux configurations en réseau admet pour seul minimiseur le réseau triangulaire*

↪  $W$  permet de distinguer entre les réseaux

# Le résultat pour les configurations périodiques

- ▶ Soit  $H$  solution de

$$-\Delta H = \delta_0 - 1$$

sur un tore de volume 1 de forme quelconque.

- ▶ transformer de Fourier l'expression explicite de  $W$  dans ce cas pour en faire une fonction du réseau (régularisation de  $\sum_{p \in \Lambda} \frac{1}{|p|^2}$ )
- ▶ sa valeur se trouve liée à la fonction  $\eta$  de Dedekind et aux séries de Eisenstein
- ▶ Minimiser  $W$  se ramène à minimiser la fonction zeta d'Epstein  $\zeta(s) = \sum_{p \in \Lambda} \frac{1}{|p|^s}$ ,  $s > 2$ , parmi les réseaux  $\Lambda$
- ▶ résultats de théorie des nombres (Cassels, Rankin, 60's) disent que c'est minimisé par le réseau triangulaire

## Théorème

*La fonction  $W$  restreinte aux configurations en réseau admet pour seul minimiseur le réseau triangulaire*

$\rightsquigarrow W$  permet de distinguer entre les réseaux

# Le résultat pour les configurations périodiques

- ▶ Soit  $H$  solution de

$$-\Delta H = \delta_0 - 1$$

sur un tore de volume 1 de forme quelconque.

- ▶ transformer de Fourier l'expression explicite de  $W$  dans ce cas pour en faire une fonction du réseau (régularisation de  $\sum_{p \in \Lambda} \frac{1}{|p|^2}$ )
- ▶ sa valeur se trouve liée à la fonction  $\eta$  de Dedekind et aux séries de Eisenstein
- ▶ Minimiser  $W$  se ramène à minimiser la fonction zeta d'Epstein  $\zeta(s) = \sum_{p \in \Lambda} \frac{1}{|p|^s}$ ,  $s > 2$ , parmi les réseaux  $\Lambda$
- ▶ résultats de théorie des nombres (Cassels, Rankin, 60's) disent que c'est minimisé par le réseau triangulaire

## Théorème

*La fonction  $W$  restreinte aux configurations en réseau admet pour seul minimiseur le réseau triangulaire*

↪  $W$  permet de distinguer entre les réseaux

# Conclusion et perspectives

- ▶ on a caractérisé l'emplacement des vortex dans tous les régimes de champs appliqués  $h_{\text{ex}} \ll \frac{1}{\epsilon^2}$  jusqu'à l'échelle où on voit des vortex individuels
- ▶ on a dérivé un problème limite d'interaction de points dans le plan : l'énergie renormalisée  $W$
- ▶  $W$  est une interaction de type logarithmique  $\rightsquigarrow$  longue portée!
- ▶ ce problème permet de distinguer entre les réseaux et sélectionne le triangulaire  $\rightsquigarrow$  première justification rigoureuse du réseau triangulaire d'Abrikosov dans ce régime
- ▶ reste à étudier l'énergie renormalisée  $W$  sans supposer cette périodicité  $\rightsquigarrow$  question de cristallisation...

- ▶ E. Sandier, S.S, *Vortices in the Magnetic Ginzburg-Landau Model*, Progress in Nonlinear Differential Equations, Birkhäuser, 2007.
- ▶ E. Sandier, S.S, From the Ginzburg-Landau energy to lattice problems, en préparation.